# 鉱さい集積場の3次元すべり安定性評価による無被害事例の検証解析

大成建設㈱ 正会員○広重敬嗣,正会員 石井 亘,正会員 立石 章 JX 金属㈱ 山田誠之,田口裕之,須本祥太

#### 1. はじめに

近年、大規模地震や集中豪雨に伴う斜面災害が大きな問題となる中で、斜面安定対策の合理的な設計手法が求められている。従来の設計においては、2次元断面解析でのすべり安全率による解析方法が用いられてきた。しかし、実際の斜面崩壊は3次元的なすべり面形状を成していることから、3次元のすべり形態を考慮することで、従来の設計よりも解析の高精度化が図られ、安定対策工の合理化につながる可能性がある。筆者らは、安田・安達 1)、2)による地盤の液状化を考慮した2次元 FEM 解析に基づくすべり安全率算定手法を3次元 FEM モデルに適用したプログラムを、(株)アーク情報システムと共同開発した。本研究では、鉱さい集積場の無被害事例を対象として、3次元すべり面による安定性評価方法の妥当性を検証した。

### 2. 検証解析の対象事例

本研究では、2011年東北地方太平洋沖地震において斜面の崩壊や滑動等の被害が生じなかった宮城県の内盛式鉱さい集積場を検証解析の対象とした. 本集積場について、2次元および3次元のFEMモデルを作成し、各モデルによるすべり安定評価を実施した.

#### 3. 解析手法

FEM 解析を用いたすべり安全率の算定フローを図 1 に示す. 全応力地震 応答解析には等価線形化法プログラム FDAPⅢを用いた. 液状化評価解析で

は、累積損傷度理論に基づき過剰間隙水圧比の時刻歴 を求めた. すべり安全率算定解析においては、下式に よりすべり面の全体すべり安全率を求めた.

$$F_{s}(t) = \frac{\sum \tau_{f,k}(t) A_{k}}{\sum \tau_{nsd,k}(t) A_{k}}$$

ここに、 $F_s(t)$ : すべり面の全体すべり安全率時刻歴、 $\tau_{f,k}(t)$ : すべり面要素のせん断強度時刻歴、 $\tau_{nsd,k}(t)$ : すべり面要素におけるすべり方向のせん断応力時刻歴、 $A_k$ : すべり面要素kの面積である.

## 4. 解析モデルおよび解析条件

解析モデルおよび地盤物性値を**図 2**, **表 1**に示す. 地盤物性値と 3 次元 FEM モデル (集積場 1/2 モデル)は,原ら  $^{3}$ および広重ら  $^{4}$ と同様の条件とした.一方,2 次元解析では,3 次元解析モデルの集積場中央断面と同一のメッシュ分割とした平面ひずみ要素による FEM モデルを用いている.

また、2次元解析におけるすべり面は**図2** 中に白い破線で示した円弧すべり面(半径 r = 205m) とした.これに対し、3次元解析のすべり面は、集積場中央断面において2次元モデルの円弧すべり面と一致させ、これを斜面横断方向に延長した円筒と、モデル側方の境界面に沿う平面とを組合わせて作成した.



| 2次元モデル(集積場中央断面) | 13m | 13m | 13m | 14m | 1

表 1 解析用物性値一覧

							_		
土層	単位 体積 重量 (kN/m3)	全応力地盤応答解析				液状化評価解析		すべり安全率算定解析	
		S波 速度 (m/s)	初期せん断 剛性 (kN/m2)	動的ポアソン比	非線形 特性	過剰間隙 水圧上昇 の考慮	液状化 強度比 RL20	粘着力 C' (kN/m2)	内部摩擦角
基礎堤	20.0	370	279,000	0.35	ひずみ 依存 剛性低下	なし	I	0.0	40.0
スライム1	18.8	120	27,600	0.46				0.0	44.4
スライム2		160	49,100					2.4	
スライム3	18.9	210	85,000	0.49	ひずみ 依存 剛性低下	あり	0.165	1.3	38.5
スライム4		240	111,000					1.3	
旧表土		380	278,000	0.47		なし	_	2.4	44.4

キーワード 鉱さい集積場,3次元すべり,液状化

連絡先 〒163-0606 新宿区西新宿 1-25-1 大成建設㈱土木設計部 TEL03-5381-5418

入力地震動を図 3 に示す. 本入力地震動は, 東北地方太平洋沖地震の藤沢観測波を用いて当該集積場の旧表土下面(変位固定条件)位置における E+F 波として作成したものである.

# 5. 解析結果

図 2 に示した代表要素において、液状化評価解析により得られた過剰間隙水圧比の時刻歴を図 4 に示す.また、すべり安全率算定解析による全体すべり安全率の時刻歴結果を図 5 に、全体すべり安全率が最小となる時刻(t=62.2 秒)における、要素すべり安全率コンターを図 6 に示す.ここで、要素すべり安全率とは、すべり面によって切断された個々の有限要素の切断面上に発生するせん断応力とせん断強度の比として求められる安全率を示す.

図 4より、液状化対象層における過剰間隙水圧比が 段階的に上昇する過程が表現されていることが分かる. 次に、図 5より全体すべり安全率は、地震動開始前 (慣性力なし), 地震動開始後(慣性力作用時)のいず れにおいても2次元解析<3次元解析であり,3次元解 析ではすべり面側方の抵抗の効果が表れていると考え られる. これは、地下水位面以深の要素におけるせん断 強度は、過剰間隙水圧の上昇に伴い徐々に減少するこ ととなるが、図 6 からも明らかなように、3 次元解析 では 2 次元解析と比較してすべり面全体に占める地下 水位以深の要素の割合が小さいことが要因であると考 えられる. すなわち、3次元解析においては、過剰間隙 水圧の上昇に伴って地下水位以深の要素の抵抗力は減 少するものの、地下水位以浅のすべり面における抵抗 力が保たれることで,2次元解析に比べて全体すべり安 全率が大きく保持されているものと考えられる.

くり返しとなるが、当該集積場は東北地方太平洋沖 地震において被害を生じなかった.一方、図 5 に示す ように、2 次元解析では地震慣性力作用時においては全 体すべり安全率が1を下回るのに対し、3 次元解析では 全時刻において1を上回る結果となっている.上述し た通り、この結果の差異は2 次元解析では考慮されな いすべり面側方の抵抗が3 次元解析においては考慮さ れるためであるが、3 次元 FEM モデルを用いた本検証 解析によって、2 次元解析では説明困難であった実現象 を合理的に説明することができたと考えられる.

## 6. まとめ

本研究では、地盤の液状化(過剰間隙水圧の上昇)を 考慮した3次元すべり安全率算定プログラムを開発し、 鉱さい集積場の無被害事例を対象に2次元解析との比 較を行った。その結果、2次元解析による評価法では

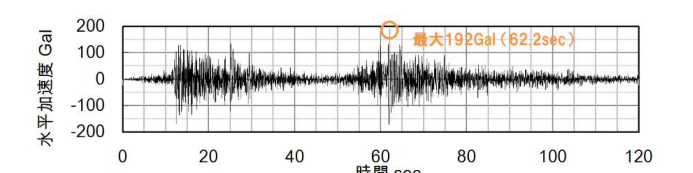


図 3 旧表土下面における入力地震動(E+F波)

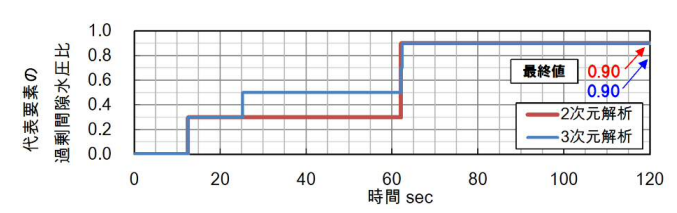


図 4 代表要素における過剰間隙水圧比時刻歴

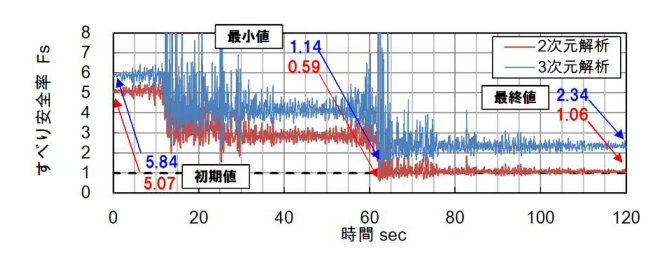


図 5 全体すべり安全率時刻歴

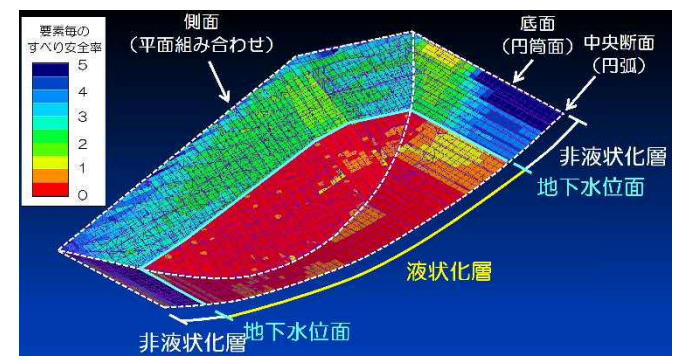


図 6 3 次元解析による要素すべり安全率 コンター図 (時刻 t=62. 2sec)

説明できなかった当該集積場の地震時安定性を,3次元解析により合理的に説明することができた.本解析結果は,3次元すべり面による斜面安定性評価の妥当性を裏付ける一事例となるものと考えられる.今後は,これらの検証解析結果に基づき,3次元すべりを考慮した設計的評価方法を提案していく予定である.

### 参考文献

- 1) 安田,安達:ニューマーク法を用いた地震時盛土すべり 変位量の推定,地盤工学会誌 Vol. 58, No.12, pp.52-53, 2010.
- 2) ㈱地盤ソフト工房:液状化安全率計算システム EXCESS/Win マニュアル, pp.26-37, 2012 年 7 月.
- 3) 原ら:鉱さい堆積場のレベル2 地震動に対する耐震設計 に関する研究(その3)~2次元・3次元地震応答解析に よる地震時挙動の評価~,土木学会第70回年次学術講演 会,2015.
- 4) 広重ら:鉱さい集積場における累積損傷度理論を用いた 液状化の評価,土木学会第71回年次学術講演会,2016.